

Fig. 5. The furnace operation data in test period.

入ったため10月以降のデータについては比較から除外した。

Fig. 5にみられるように操業条件のはば等しいこの期間において、旋回シートを停止させたことによる炉況の変動は全く受けられず、円滑な操業を維持し得たことがわかる。現場の操業も何らトラブルがなく棚吊りや銑中Siは安定していた。

炉頂の装入物分布は炉内通気性に大きな影響を与えるとされているが、今回の試験においてFig. 5およびTable 1の粒度および配合では少なくとも旋回シート停止によって炉況が悪化しないと考えてもよいと思われる。

なお炉内通気性は単一相流動における圧損失の式²⁾から導いたもので、当所の実績では良く炉内の通気性を示すことが知られている。圧損失は次式で示される。

$$P_1^2 - P_2^2 = \left(\frac{I}{d} \right) \left(\frac{L^3}{v^2} \right) \left(\frac{\bar{T}}{T_0} \right) V G_0^2$$

ただし、
 P_1, P_2 : 送風圧力、炉頂圧力
 L, v : 高炉有効高さ、有効内容積
 T_0 : 絶対温度
 \bar{T} : 送風温度と炉頂温度の平均
 VG_0 : 発生ガス量
 d : 装入物平均粒径
 I : 通気抵抗指數

ここで装入物の形状、空隙率、平均粒径を含んだ通気特性値(K)は I/d で示され、通常の操業ではこの K は一定となる。すなわち K が変化することは装入物性状以外の操業条件の変化によるものとみなされる。したがつて今回旋回シート停止以外の操業条件が Fig. 4 よりほぼ等しいとみられるので旋回シート停止により K の上昇がみられないことから、通気性への悪影響はなかつたと考えられる。

4. 結 言

室蘭第3高炉における旋回シート停止による操業は作業上および炉況に悪影響が生ぜず成功に終わった。炉頂装入装置には炉内原料分布の均一化を計るため、旋回あるいは回転機構がその多くを占めているが、原料粒度の改良、高压化の傾向にある現状から本試験の結果は単に炉内原料の分布の点ばかりではなく今後の炉頂装入装置改良に対し一つの指針となるものと思われる。

文 献

- 1) 室蘭製鉄所技術会誌, (1960), p. 165
- 2) 化学工学便覧, (1958), p. 133

(5) 大型高炉における輸入ペレットと焼結鉱の比較試験結果について

八幡製鉄所、戸畠製造所

研野雄二・阿部幸弘・○酒見哲蔵
 Blast Furnace Practice with Imported Pellet vs Sinter at Tobota No. 2 Blast Furnace.

Yūji TOGINO, Yukihiro ABE
 and Tetsuzō SAKAMI.

1. 緒 言

輸入ペレットに対する評価は最近海外で高まつてゐる

が、わが国では小型高炉での実績しかなくその評価は明らかでない。このため戸畠第2高炉(炉床径8.9m. 内容積1657m³, 羽口数20)において、ペレット80%, 焼結鉱80%にて操業を行ない、生産性、コークス比、操業上の問題点などについて比較検討したので報告する。

2. 輸入ペレットとDL焼結鉱の性状比較

輸入ペレットは八幡製鉄東田第5高炉で使用したものと製造条件はほぼ同一であり、焼結鉱との性状比較を

Table 1, Table 2に示す。学振法による被還元率はペレット71.5%, 焼結鉱69.7%であった。

3. 操業結果

将来の原料計画を考慮してペレット55%と80%で各10日間を計画したが、使用開始後30%まで増加した時、ペレット中-5mmが多くしかもヤード、鉱石庫内において偏析が大きく操業が困難となつたため、筛分けて使用せねばならなかつた。筛分けたペレットを80%

Table 1. Chemical analyses of pellet and sinter.

Chemical Analysis	T·Fe	FeO	Fe ₂ O ₃	Mn	P	S	Cu	SiO ₂	CaO	Al ₂ O ₃	MgO	K ₂ O	Na ₂ O
Sinter	56.98	9.55	70.86	0.45	0.075	0.014	0.032	5.87	8.79	2.78	1.09	0.05	0.09
Pellet	66.58	1.52	93.57	0.03	0.014	0.013	0.017	2.61	0.34	0.74	0.89	0.10	0.32

Table 2. Size distributions of pelleted and sinter.

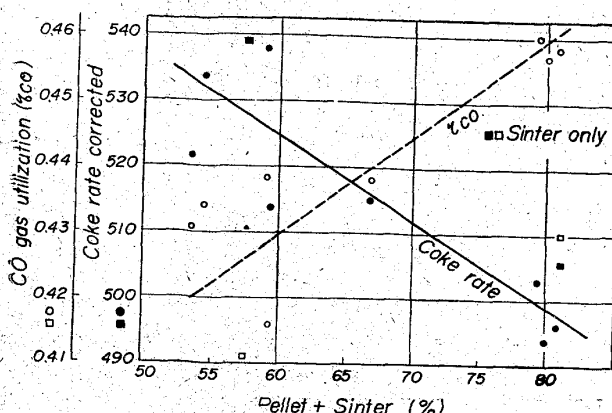
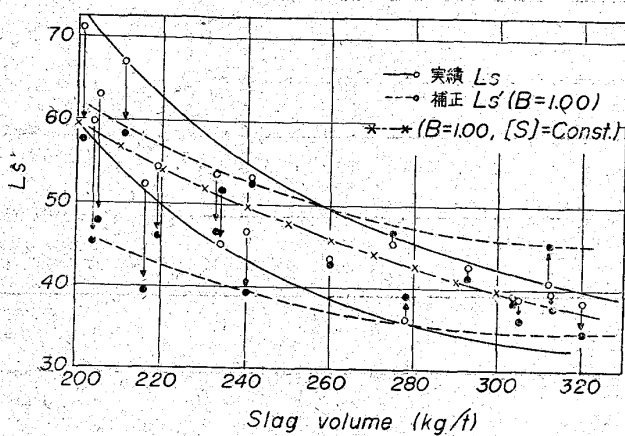
m/m	-5	5~10	10~15	15~25	25~35	35~50	50~75	+75	mean	Void
Sinter (Sinter plant) (Blast Furnace Plant)	5.6 8.6	34.1 38.7	15.3 19.5	18.4 14.5	10.9 11.6	8.6 0	6.5 0	0.6 0	19.8 19.7	— 54.1
Pellet (No screened) (Screened)	7.5 1.5	16.2 15.2	60.0 69.1	16.3 14.2	0 0	0 0	0 0	0 0	12.2 12.5	— 46.3

Table 3. Operation results.

Period	0 10·11 ~10·17	I 10·18 ~10·22	II 10·23 ~10·25	III 10·26 ~11·6	IV 11·7 ~11·14	V 11·15 ~11·20	VI 11·21 ~11·23	VII 11·24 ~12·5	VIII 12·6 ~12·17	IX 12·23 ~3·1	X 3·2 ~3·10
Pellet ratio %	0	18.8	32.0	29.1	53.4	80.6	66.2	59.1	19.2	0	0
Sinter ratio %	56.3	40.0	22.1	24.4	13.3	0	13.8	20.1	39.9	80.4	65.1
Iron production t/d	2528	2505	2540	2513	2444	2185	2246	2739	2593	2579	2445
Coke rate kg/t	559	558	553	532	524	508	501	504	514	481	494
Coke rate corrected kg/t	539	538	534	522	515	496	494	503	514	506	509
Fuel rate l/t	19.1	24.6	24.7	26.9	25.8	24.8	30.0	27.1	29.8	37.4	38.2
Ore/Coke	3058	2896	2918	2892	2875	2825	2924	2974	3089	3361	3278
Blast volume m ³ /min	2538	2570	2548	2479	2462	2296	2265	2547	2540	2497	2381
Blast pressure g/cm ³	1532	1541	1600	1566	1569	1515	1523	1508	1489	1530	1533
Blast temperature °C	932	897	908	934	946	939	944	967	969	996	986
Humidity g/cm ³	42.4	43.0	44.0	41.9	40.2	42.1	44.6	35.4	39.4	20.3	36.0
Top gas temperature °C	205	210	191	182	180	203	214	181	167	220	218
Top gas CO ₂ %	17.8	17.9	18.9	18.7	19.6	20.0	19.7	19.9	18.8	18.0	18.3
" CO	24.7	23.8	23.1	23.2	22.8	22.4	22.6	22.5	22.8	23.6	23.6
" H ₂ %	3.8	3.9	3.9	3.8	3.3	3.2	3.6	3.3	3.7	2.8	3.7
Slip+Hanging times	0	0	0	2	8	31	22	5	2	0	10
Tuyere Damage "	0	0	0	2	3	6	1	1	0	3	2

Table 4. Comparison of coke consumption.

Item	A Pellet 80%	B Sinter 80%	Difference A-B	Effect to coke rate	Difference of Coke rate
Utilization of CO. %	45.8	43.0	2.8	6.50 kg/%	(-)18.2
Oxygen in burden kg/t	397	381	16	1.18 kg/kg	18.9
Lime stone Consumption kg/t	87	8	79	0.31 "	24.5
Slag volume kg/t	204	328	(-)124	0.30 "	(-)37.2
Moisture g/m ³	42.1	20.3	21.8	0.60 kg/g	13.1
Blast temperature °C	939	996	(-) 57	(-)0.16 kg/°C	9.1
Heavy oil l/t	248	37.4	(-) 12.6	(-)1.20 kg/l	15.1
Total					25.3
Coke rate of operation results	508	481	—	—	27.0

Fig. 1. Variation of η_{CO} and coke rate.Fig. 2. Relation between L_s and slag volume.

に増加させたところ通気性が悪化し送風量は大巾に低下し、羽口破損が多発した。そのためペレット60%，焼結鉱20%にしたところ炉況は良好となり、生産性、コークス比とも良好な成績を得た。焼結80%では通気性にはほとんど問題はなかつたが、羽口破損が3回起り実績出銑量の減少がみられた。Table 3に操業結果を示す。

4. 結果の考察

4.1 生産性について

ペレット80%，焼結80%の時程度の差はあるが炉況

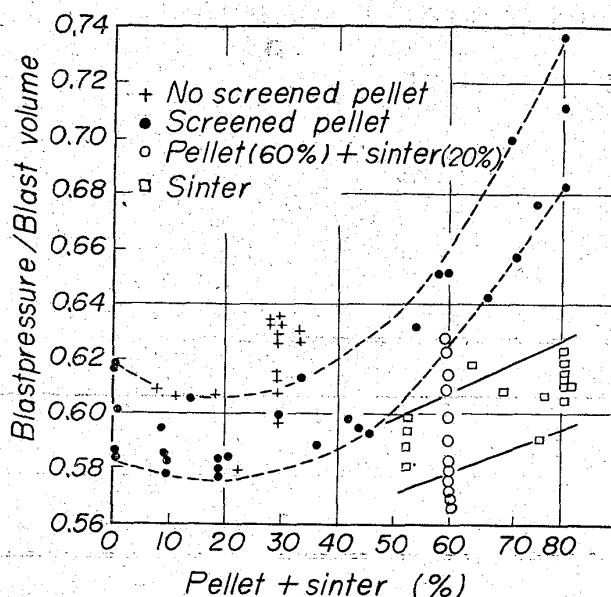


Fig. 3. Variation of blast pressure/blast volume.

は不安定となつた。しかし装入物の変更量をこぎぎみにすれば炉況は安定するものと考られ、後述するように補正コークス比にはほとんど差はなく同等の生産性が期待できると考えられる。

4.2 コークス比について

Fig. 1にペレット+焼結使用%とCOガス利用率および補正コークス比との関係を示す。補正コークス比は、実績コークス比を重油、送風温度、送風湿度で補正したもので、ペレットの強度や装入分布などが今後改善されれば操業上焼結鉱との差はないものと考えられる。ソルーションレートに基くコークス比の算出式²⁾にてCOガス利用率を検討すれば、ペレットは結合酸素量が多く、Fig. 1に示す程度の上昇ではコークス比にはひびかない。

コークス比の差異の内容を検討すればTable 4のようになり、鉱滓量の差によるコークス比の低下が大きいようである。

4.3 低造滓量の溶銑[S]への影響

脱硫に関する操業実績をTable 5に示す。

Table 5. Desulphurization data.

Pellet rate %	0	10	15	30	30	40	50	60	70	80	70	60	50	40	20
Input S. kg/t	3975	3971	3875	3981	4321	3935	3775	3585	4032	3660	3633	3683	3701	3897	4111
Slag volume kg/t	320	305	305	278	293	260	240	216	233	201	211	234	248	275	312
[Si] content in metal %	0.49	0.53	0.58	0.50	0.49	0.48	0.40	0.43	0.52	0.53	0.49	0.52	0.57	0.57	0.53
[S] content in metal %	0.030	0.031	0.031	0.0360	0.0320	0.0320	0.0310	0.0290	0.0300	0.0240	0.0320	0.0250	0.0250	0.0290	0.030
Slag basicity -	1.30	1.29	1.26	1.27	1.32	1.29	1.30	1.36	1.31	1.31	1.32	1.28	1.28	1.29	1.28
(Al ₂ O ₃) %	14.20	15.03	16.29	15.56	15.13	15.23	13.56	13.67	14.05	14.17	14.57	15.22	14.94	15.35	16.02
(MgO) %	6.09	6.34	5.51	6.07	5.73	5.85	6.18	6.25	6.32	6.41	6.59	6.11	6.46	5.88	6.04
CaO+MgO/SiO ₂ +Al ₂ O ₃	1.03	1.02	0.95	0.98	1.01	1.00	1.05	1.08	1.09	1.06	1.04	0.99	1.01	0.99	0.92
(S) content in Slag	0.899	1.100	1.055	1.041	0.980	1.032	1.370	1.308	1.490	1.253	1.215	1.191	0.870	1.070	1.008
Desulphurization rate %	92.5	92.2	92.0	91.0	92.6	91.9	91.8	91.9	92.6	93.4	93.4	91.3	93.2	92.6	92.7
(S)*/[S]	38.2	38.7	37.7	36.2	42.6	43.4	46.6	52.1	53.4	70.9	67.0	44.9	55.6	45.2	40.7

$$* (S) = \frac{\text{input S} - [S] \cdot 1000 / 100}{\text{Slag volume}} \times 100 (\%)$$

